

原子能译丛

# 原子核裂变物理

1958

“原子能”編譯委員会編  
科学出版社出版

## 原子能译丛 1

---

編輯者 中国物理学会  
“原子能”編輯委员会  
(北京郵箱 237 号)

出版者 科学出版社  
印刷者 中国科学院印刷厂  
发行者 新华书店

---

(京) 801—2,800 1958 年 4 月出版  
定价: 5.50 元 1959 年 3 月第二次印刷

## 目 录

(編者註:这一期是从苏联“原子能”雜誌副刊第1期«Приложение № 1 к журналу “Атомная энергия” за 1957 г.» 翻譯来的)

核裂变理論(綜合評論)(盖里克曼)·····	1
快中子引起的核裂变截面(查墨雅特宁)·····	22
裂变产物的质量和电荷分布(牧林)·····	27
关于能量閾附近重核裂变的理論(諾索夫)·····	46
关于核裂变过程的各向异性(弗朗克)·····	52
裂变中子(叶洛孰林姆斯基)·····	66
关于在低激发能与高激发能时核裂变的某些特点(彼尔斐洛夫)·····	87
高能质子引起的鈾裂变截面及伴随着裂变产生的輕带电粒子的分析(依万諾娃)·····	102
用厚乳胶板方法測定发射裂变閾(沙莫夫)·····	114
重核的自发裂变(彼得尔热阿克)·····	132
重核自发裂变的若干特点(密海独夫)·····	157
光致裂变(拉查列娃,尼基金娜)·····	164

# 核裂變理論

(綜合評論)

蓋里克曼 (B. T. Гейликман)

裂變理論的主要任務是：1) 裂變幾率的計算；2) 計算碎片的質量  
和電荷分布，以及碎片的角分布和 3) 裂變閾的計算。

計算碎片的激發幾率和估計放出次級中子的能量和數目同樣是有  
很大意義的。最多的論文是關於在各種裂變方式的位壘計算的。更復  
雜的計算裂變幾率的任務只在少量論文中研究過。

這篇綜合評論的第一部分談到計算裂變位壘的研究工作。第二部  
份是關於裂變幾率的工作。第三部份敘述關於裂變過程的定性見解。  
第四部份將談到碎片的質量及電荷分布和碎片的角分布等的工作。

## I. 裂變位壘

最初的工作，按照波爾 (N. Bohr) 及惠勒 (Wheeler)<sup>[1]</sup> 和弗倫凱爾  
(Френкель)<sup>[2]</sup> 的裂變理論，核對於裂變的穩定度是在核液滴模型最簡  
單的方案基礎上來研究的。在這些工作中假設核液體是不可壓縮的，  
並在作任何形變時電荷是均勻的 (即對於球形作很小的偏離  
的情形)。

$$r = R \left[ 1 + \alpha_1 + \sum_{n=2}^{\infty} \alpha_n P_n(\cos \theta) \right], \quad (1)$$

這裡  $\alpha_n \ll 1$ 。

這裡我們得到庫倫能與表面能的和 (核總能量中的其它各項與它  
的形狀無關) 為

$$E_{\text{庫倫}} + E_{\text{表面}} = 4\pi R^2 \sigma \left( 1 + \frac{2}{5} \alpha_2^2 + \dots + \frac{(n-1)(n+2)}{2(2n+1)} \alpha_n^2 + \dots \right) +$$

$$+ \frac{3}{5} \frac{Z^2 e^2}{R} \left( 1 - \frac{\alpha_2^2}{5} - \dots - \frac{5(n-1)}{(2n+1)} \alpha_n^2 - \dots \right), \quad (2)$$

式中  $\sigma$ ——表面张力;  $R = r_0 A^{1/3}$ ;  $r_0 = 1.2 \cdot 10^{-13}$  厘米。(以前假设  $r_0 = 1.4 - 1.5 \cdot 10^{-13}$  厘米)。

由(2)可见,如果

$$\frac{Z^2}{A} = \left( \frac{Z^2}{A} \right)_{\text{临界}} = \frac{40\pi}{3} \cdot \frac{\sigma r_0^3}{e^2},$$

核对于小振动来说就将是不稳定的<sup>[1][2]</sup>。

根据<sup>[1]</sup>  $\left( \frac{Z^2}{A} \right)_{\text{临界}} = 47.8$ 。在论文<sup>[3]</sup>中  $\left( \frac{Z^2}{A} \right)_{\text{临界}}$  是等于 45.5\*。比值  $\frac{Z^2/A}{\left( Z^2/A \right)_{\text{临界}}} = x$  表征核的稳定程度。

由(2)可见,在  $x$  很小和  $x$  很大两个极端的情况下,核对于分成两个相等的碎片来说是不稳定的。

在第一种情形下,裂变位垒  $E_f$  可由两个相等的互相接触的球形碎片与原始核之间的库伦和表面能之差算出:

$$E_f = 4\pi r_0^2 \sigma \left[ 2 \left( \frac{A}{2} \right)^{2/3} - A^{2/3} \right] + \frac{Z^2 e^2}{r_0} \left\{ 2 \frac{3}{5} \left( \frac{1}{2} \right)^2 \left( \frac{A}{2} \right)^{1/3} + \left( \frac{1}{2} \right)^2 \frac{1}{2 \left( \frac{A}{2} \right)^{1/3}} - \frac{3}{5 A^{1/3}} \right\} = 4\pi r_0^2 A^{2/3} \sigma (0.260 - 0.215 x). \quad (3)$$

在第二种情形下,为了探讨位垒能量,计算时取准确度到  $\alpha_2^2, \alpha_4^2, \alpha_2 \cdot \alpha_4$  各项:

$$E_{\text{表+电}} = 4\pi r_0^2 A^{2/3} \sigma \left[ \frac{2}{5} \alpha_2^2 - \frac{4}{105} \alpha_2^3 + \frac{101}{35} \alpha_4^2 - \frac{4}{35} \alpha_2^2 \alpha_4 + \alpha_4^3 \right] - \frac{3Z^2 e^2}{5r_0 A^{1/3}} \left[ \alpha_2^2 + \frac{4}{105} \alpha_2^3 + \frac{58}{35} \alpha_4^2 + \frac{6}{35} \alpha_2^2 \alpha_4 + \frac{5}{27} \alpha_4^3 \right]. \quad (4)$$

\* 由于在  $R = r_0 A^{1/3}$  式中  $r_0$  常数的改变引起了  $\sigma$  及  $\left( \frac{Z^2}{A} \right)_{\text{临界}}$  的改变(见<sup>[6][7]</sup>)。当  $r_0 = 1.2 \times 10^{-13}$  时  $E_n = 17.8 A^{2/3}$  兆电子伏和  $\left( \frac{Z^2}{A} \right)_{\text{临界}} = 50$  (校样时注)。

位壘  $E_f$  是由表示  $E_{\text{衰+電}}$  作為變數  $\alpha_2, \alpha_4, \dots$  的函數的曲面上的轉折點決定的。此時  $E_f$  等於

$$E_f = 4\pi r_0^2 A^{2/3} \sigma [0.728(1-x)^3 - 0.661(1-x)^4 + \dots], \quad (5)$$

式中  $1-x \ll 1$ 。

對於中間值的  $x$ ,  $E_f$  可以用內插法求得。[1]中引入的內插曲線的準確度在  $Z \approx 92$ ,  $A \approx 238$  區域中是不大的, 因為在這樣的  $Z$  及  $A$  值時  $x = 0.74$ 。由此可見, 裂變不是與小的形變有關, 而是與大的形變有關<sup>[4]</sup>。

由(3)(4)可見, 在  $x \approx 1$  時, 最低的位壘相對於對稱裂變。因為由實驗知道, 在熱能或不很快的中子作用下出現非對稱裂變(碎片質量的最可幾比例等於 3:2), 所以在所有以後的工作中都試圖去證明, 在實際上, 非對稱裂變的位壘要來得低。

為了這個目的, 論文[5][6]在  $E_{\text{衰+電}}$  的式中算出包含  $\alpha_3, \alpha_5$  的各項, 並且一直分解到六次項。但是, 即使在這種情況下, 還是對稱裂變的位壘最低。

在最近的論文之一, 論文[7]中, 位壘高度粗糙地估計為等於在球形碎片相接觸時的斥力  $Q$  與裂變時放出能量  $\Delta E$  的能量差數。對於  $Q$  曾選擇了  $Z_1 Z_2 e^2 R$  來表示, 並且  $R$  的值任意地取為常數, 等於  $1.3 \times 10^{-13}$  厘米(與  $Z_1$  和  $Z_2$  無關)。除此之外, 關於在位壘頂點裂變核的兩部份是球形的假設, 顯然是不對的。因此工作[7]的結果是, 差數  $Q - \Delta E$  (即  $E_f$ ) 在  $Z_1 \approx 37$  和  $Z_2 \approx 55$  時等於零, 是完全不能令人信服的。

[8]緊接着工作[7]。作者們認為, 由實驗數據可以作出關於  $Z$  接近於  $Z_1 \approx 35$  和  $Z_2 \approx 55$  的最穩定的核的結論。

因此, 在這種情況下可以預期  $\Delta E$  將會比實際大一些, 因此當  $Q$  值不變時差數  $Q - \Delta E$  會比實際為小。但是, 正如在論文[1]中更準確的計算所得到的結論那樣, 關於  $Q$  的常數的假設就是不正確的。

論文[1]研究了小的形變。在弗倫凱爾 (S. Frankel) 及滅德羅波里斯 (N. Metropolis) 的論文[9]中, 能量  $E_{\text{衰+電}}$  是用電子計算機對大形變計算出的。此時, 仍然求得, 在  $x \approx 1$  時最低的位壘相對於對稱裂變, 並且它的值與[1]中所得的值差別很小。在[9]中同樣也計算了帶有電荷

$Z$  的原始核的庫倫和表面能量与带有不同电荷  $Z_1$  和  $Z_2$  的两个相接触的球形碎片能量的差  $E_f$  (这个值当  $x \ll 1$  时近于  $E_f$  值, 見前文)。他們証明了, 当  $x > 0.60$  时函数  $E_f(Z_1)$  的曲綫在  $Z_1 = Z/2$  处 (見圖 1) 有極小值, 而当  $x < 0.60$  时在  $Z_1 = Z/2$  处 (見圖 2) 有極大值, 亦即, 当  $x < 0.60$  时对称裂变的位垒高于非对称裂变位垒。

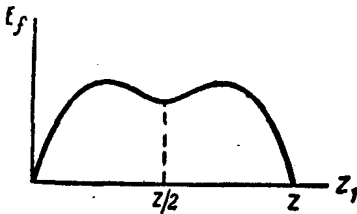


圖 1 当  $\frac{Z^2/A}{(Z^2/A)_{臨界}} < 0.60$  时

裂变能量与碎片  $Z$  的关系

对于任何  $x$  值,  $E_f$  可以写成下面的形式:

$$E_f = 4\pi r_0^2 A^{2/3} \sigma \left\{ \left( \frac{A_1}{A} \right)^{2/3} + \left( \frac{A_2}{A} \right)^{2/3} - 1 + x \left[ \left( \frac{A_1}{A} \right)^{5/3} + \left( \frac{A_2}{A} \right)^{5/3} - 1 \right] + \frac{5}{3} \frac{A_1 A_2}{A^2} \left[ \left( \frac{A_1}{A} \right)^{1/3} + \left( \frac{A_2}{A} \right)^{1/3} - 1 \right] \right\}. \quad (6)$$

在雍格曼 (J. Jungerman) 的論文[10]中, 把核的形状取作橢圓体作为計算的出發点, 然后研究橢圓体的小形变。可是在这个情况下, 对称裂变的裂变位垒还是最低的。

在以上所有的研究工作中, 核被看成为均匀荷电的不可压缩的液滴。为了解释非对称裂变, 斯伐捷斯基 (W. J. Swiatecki) 在論文[11]、[12]中第一次計入了可压缩性。[12]中的計算只有定性的性質, 除此之外它还与表征核液体的可压缩性的不定参数有关。这种粗糙的考虑到可压缩性的計算給出, 在碎片質量之比为 2:1 时位垒最低。作者指出, 計入核液体的極化也会增加非对称程度。但是[12]中的計算是非常粗糙的, 因此是不能使人信服的。

佛留格 (S. Flügge) 及伏要斯德 (K. Woeste) 的文章<sup>[9][13]</sup>研究了可

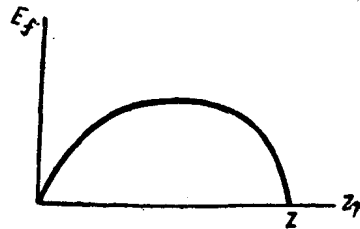


圖 2 当  $\frac{Z^2/A}{(Z^2/A)_{臨界}} > 0.60$  时

裂变能量与碎片  $Z$  的关系

壓縮的和極化的核的振動。但是作者沒有算出裂變位壘的值，而只是估計了核液體的可壓縮性和極化對於核對裂變而言的穩定程度的影響。伏要斯德得出了可壓縮性的影響特別大的結論。計入了可壓縮性之後，在核對於小的四極形變變成不穩時的 $(Z^2/A)$ 值將是44.7而不是像對不可壓縮的核那樣等於45.5。

諾索夫(B. Г. Носов)<sup>[14]</sup>指出，核液體極化的影響不大。

黑爾(D. Hill)及惠勒<sup>[15]</sup>注意到，裂變核如為非球狀的則裂變位壘的數值將會改變。對於拉長了的核位壘低於球形的核（在其他條件相同時），而被壓扁的位壘高於球形核，這只是一系列可能發生的效應之一，這些效應是從表面自由度與單個核子運動的關聯而產生的。

在波爾提出計入核的集體和單個自由度之間關係的所謂綜合核模型<sup>[16][17]</sup>之後，顯然根據簡單的液滴模型來計算裂變位壘是不完全的。確實，由於核子運動與核表面的關聯，單個核子的能級 $E_{核子}$ 是決定核形狀的參數 $\alpha_2, \alpha_3$ 的函數。由此可見，不只是宏觀的庫倫能和表面張力能，而且未滿殼層的核子能量，甚至可能滿了的殼層，都與參數 $\alpha_2, \alpha_3 \dots$ 有關。可惜現在殼層理論和波爾的綜合理論極難定量的計算核子能量與形變參數的關係。對於非對稱振動子模型，核子的能量與對稱形變參數 $\alpha_2$ 的關係是由伏要斯德<sup>[18]</sup>和尼爾松(S. Nilsson)<sup>[19]</sup>求出的。

諾索夫<sup>[14]</sup>計算了更有興趣的核子在長方形位阱中模型的能級，但只在形變非常大的極端情況下作了計算。但是所有這些結果都不能用來作定量的計算，這是由於模型的不定性質（特別是振動模型）而主要是因為不知道充填核子能級的次序，也由於殼層模型本身的近似性質。雖然如此，在所有定性估計的基礎上，還是可以確定，與形變參數 $\alpha_2, \alpha_3 \dots$ 有關的，由單個核子的運動決定的對核能量的貢獻，在數量上可以和按照液滴模型所計算出的液體動力學能量相比較。

## II. 裂變的幾率

### 1. 激發能量為5到10兆電子伏的裂變幾率。

根據波爾及惠勒的文章<sup>[1]</sup>，裂變寬度 $\Gamma$ ，可以按下面的方法來估計。考慮一個複合核，它的激發能量在 $E$ 到 $E+dE$ 的間節中。我們用



$\rho(E)dE$  表示激發能量在  $E$  到  $E+dE$  間节中的核的状态数。令核的总数等于  $\rho(E)dE$ , 即在每一个状态上有一个核。这时在 1 秒鐘內将有  $\rho(E)dE \frac{\Gamma_f}{h}$  个核裂变。这个数目应该等于在 1 秒鐘內穿过位垒的过渡状态核数。波尔和惠勒推出, 在發生裂变以前, 核的过渡状态能級数等于

$$\frac{dpd\alpha}{h} \rho^*(E-E_f-K)dE, \quad (7)$$

式中  $K$  及  $p$ ——分飞时裂变碎片的能量和动量;  $\rho^*$ ——复合核的与裂变無关的能級密度;  $d\alpha$ ——核的“頸”層厚度(層方向垂直于裂变的方方向)。引入变数  $\alpha$  使波尔与惠勒的計算具有某种不定性。

因为起初每个状态上有一个核, 作者們認為, 1 秒鐘內的裂变数目等于

$$n = dE \int \frac{vdp}{h} \rho^*(E-E_f-K), \quad (8)$$

式中  $v = \frac{d\alpha}{dt}$ ——碎片的相对速度。当考虑到  $vdp = dk$  时就得到

$$n = \frac{dE}{h} N^*(E-E_f), \quad (9)$$

其中  $N^*$ ——复合核的能量不超过  $E-E_f$  与裂变無关的能級总数。

使  $\rho dE \Gamma_f/h$  与 (9) 相等, 求得  $\Gamma_f$ :

$$\Gamma_f = \frac{D}{2\pi} N^*(E-E_f), \quad D = \frac{1}{\rho(E)}. \quad (10)$$

因为在閾附近裂变时  $N^*(E-E_f) \approx 1$ , 所以

$$\Gamma_f \approx D/2\pi. \quad (10a)$$

知道了  $\Gamma_f$ , 就可以求出在共振附近的裂变截面:

$$\sigma_f = \frac{\pi\lambda^2(2J+1)}{(2s+1)(2i+1)} \cdot \frac{\Gamma_n \Gamma_f}{(E-E_0)^2 \frac{\Gamma^2}{4}} \text{ 及}$$

对足够快的中子<sup>[1][20]</sup>

$$\sigma_f = 2\pi^2 \lambda^2 g \frac{\Gamma_n \Gamma_f}{\Gamma D}, \quad g = \begin{cases} 1 & \text{当 } i=0 \\ \frac{1}{2} & \text{当 } i>0 \end{cases} \quad (10b)$$

在佛热莫多(J. Fujimoto)及亞馬古奇(J. Jamaguchi)的論文[21]中,

(8)式的积分曾在  $\rho^*(E) = \rho(E)$  (实际小  $\rho^* \neq \rho$ ) 的假设下导出, 而且求得了裂变宽度  $\Gamma_f$ ,

$$\Gamma_f = \frac{\theta}{2\pi} e^{-\frac{E_f}{\theta}}, \quad (11)$$

这里  $\theta$ ——核的温度。

克拉米尔斯(H. Kramers)在关于在力场中布朗运动的一般理論的論文[22]中, 对于在  $E_f \gg \theta$  的条件下穿过位垒的几率  $W_f = \frac{\Gamma_f}{\hbar}$  得到下式:

$$\left. \begin{array}{l} \text{a) } W_f \approx \frac{2\pi\omega\omega'}{\eta} e^{-E_f/\theta}, \quad \eta \gg \omega, \\ \text{б) } W_f \approx \omega e^{-E_f/\theta}, \quad \eta \ll \omega', \\ \text{в) } W_f \approx \eta \frac{E_f}{\theta} e^{-E_f/\theta}, \quad \eta \ll \omega, \end{array} \right\} \quad (12)$$

式中  $\omega$ ——在位阱底处的振动频率;  $\omega'$ ——当位能符号改变时, 在位垒的位置所形成的阱底的振动频率;  $\eta$ ——摩擦系数除以質量。

克拉米尔斯认为, 公式(126)与实际最接近。克拉米尔斯公式的缺陷是  $\eta$  值的不确定性。除此之外, 它們是对于一个自由度的(一个参数  $\alpha$ ) 抽象状态导出的, 这个状态就是与恒温器处在平衡下的状态, 恒温器的能量比  $E_f$  大得多。

在[23]中, 根据依照波尔兹曼原理算得的与将核抛到位垒頂端相应的热涨落的等待时间, 得出  $\Gamma_f$  的一般估计:

$$\Gamma_f = \frac{\hbar}{\tau} e^{\Delta s/k}, \quad (13)$$

此处  $\Delta s/k$ ——核的基态与激发态熵之差, 而  $\tau$ ——核液体的弛豫时间。

在[14]中给出了  $\Gamma_f$  的更详细的估计:

$$\Gamma_f \approx \frac{\hbar\omega}{2\pi} \cdot \frac{N^*(E-E_f)}{N^*(E)}. \quad (14)$$

其中  $\omega$  与  $N^*$  有着以前的意义。当  $\hbar\omega \ll \theta$  时,  $N^*(E) \approx \frac{\hbar\omega}{\theta} N(E) \approx \frac{\hbar\omega}{D}$  (因为  $N(E) \approx \frac{\theta}{D}$ ) 而公式(14)就变成波尔和惠勒的公式(10a)。諾索夫证明, 在公式(10)及(14)的基础上, 可以解释为什么在快中子作用下裂变的某些元素 ( $\text{Th}^{232}, \text{U}^{234}, \text{U}^{238}$  等等) 的  $\sigma_f(E)$  曲线上紧接着阈

出現的極小值的存在。的確，當  $E - E_f$  差由第一能級的能量改變到第二能級的能量（即對偶-偶核來說距離為 1 兆電子伏）及類推時，(14) 式分母中的函數  $N^*(E)$  的值大約像  $e^{a\sqrt{E}}$  一樣地增加，而分子中的函數不變。這樣，在能量稍小於下一個能級的能量處  $\Gamma_f$  將有極小的值\*。

在論文[25]中指出了在  $\sigma_f(E)$  曲線上出現極小值的另一個原因。從平均裂變截面的一般公式(106)中

$$\sigma_f = 2\pi^2 \lambda^2 g \frac{\Gamma_n \Gamma_f}{\Gamma D}$$

可以看出，甚至在  $\Gamma_f$  與能量有單調的關係時——因為在能量等於原始核能級能量時，總寬度  $\Gamma$  將劇烈地增加——在這個能量上  $\sigma_f$  將劇烈地下降。

符拉基米爾斯基 (В. В. Владимирский) [26] 注意到，在比較激發的實驗曲線和理論曲線時，應該考慮到壘下裂變。壘下裂變的幾率在與位壘直接相鄰處並不太小。因此壘下裂變連續地轉到壘上裂變。看來，在這篇論文中，對於壘下裂變的作用，有些夸大。

$\Gamma_f(E)$  的不規則的變化過程，對於捕獲熱中子即起裂變的元素，在能量為  $\sim 1-10$  電子伏時正如惠勒 [27] 所指出，可以用與角動量有關的對於這個能量區域中能級的禁戒來解釋。

2. 自發裂變的幾率。根據已知的穿過位壘幾率的公式，在弗倫凱爾 [2]，波爾和惠勒 [1] 的論文中，第一次估計了自發裂變的幾率：

$$W_f \approx \omega e^{-2/\hbar} \int_{\alpha_2}^{\alpha_1} \sqrt{2(E_{\text{核+電}}(\alpha) - E) \Sigma m_i (dx_i/d\alpha)^2} d\alpha, \quad (15)$$

這裡  $E_{\text{核+電}}(\alpha)$  ——位能，它是描寫核形變的參數  $\alpha$  的函數； $m_i$  ——核子的質量； $x_i$  ——核子的坐標。

因為不知道函數  $E_{\text{核+電}}(\alpha)$  的形式，波爾及惠勒提出利用下式來作粗略的估計

$$W_f \approx \omega e^{-\alpha/\hbar \sqrt{ME_f}}, \quad (16)$$

其中  $M$  ——核的質量。如果  $\alpha \approx 10^{-13}$  厘米，由(16)就求得  $W_f^{-1} \approx 10^{22}$  年。

\* 後來，惠勒獨立地發表了類似的觀點 [27] (校樣時注)。

根据佛列略夫 (Г. Н. Флёрв) 和被特尔热阿克 (К. А. Петржак) 發現自發裂变的实验数据, 当  $Z=92$  时,  $W_f^{-1} \approx 10^{17}$  年<sup>[28]</sup>。米格达尔 (А. Б. Мигдал) 及彼列斯捷斯基 (В. Б. Берестецкий)<sup>[4]</sup> 証明, 如果把在关于核的小形变假设基础上所得的  $E_{表+电}$  (4) 式代入公式 (15), 則  $W_f^{-1}$  就近似地等于 1 小时。这个结果又一次表明, 与裂变有关的形变是很大的。

西波格 (G. Seaborg) 在論文<sup>[29]</sup>中假设, 对于各种核自發裂变几率的经验关系式为

$$W_f \approx e^{Z^2/A},$$

但是它与实验数据并不十分相符。

密海多夫 (В. Н. Мехедов)<sup>[30]</sup> 指出了另外的经验定律: 对于自發裂变的平均寿命与对于  $\alpha$  衰变的平均寿命之比与  $Z$  的依赖关系很弱, 而是中子数  $N$  的下降函数。

在分析实验数据时, 尤繩格 (J. Huizenga)<sup>[31]</sup> 注意到, 对于同一元素的各种同位素的自發裂变寿命  $\tau_f$  在某一原子量  $A$  处有极大值。不久以前, 斯伐捷斯基<sup>[32]</sup> 提出了考虑到偶数性效应和其它不规则效应的计算  $\tau_f$  的有趣的经验公式。

所有这些经验规定, 目前还没有获得理論的解释。但因为由它們得到的裂变几率与参数  $Z^2/A$  的关系曲线是非常单调的, 則毫無疑义, 它們表明单个核子对于与形变参数有关的那部份核能量有显著的贡献 (見第 I 节)\*

3. 大激发能量情况时的裂变几率。当鈾被能量为 90 兆电子伏的中子和能量为 190 兆电子伏的氘引起裂变时, 發現碎片原子量之和比原始核的原子量少掉 10—12 个单位。因此格克尔蒙 (R. Goeckermann) 和彼尔蒙 (J. Perlman)<sup>[33]</sup> 假设, 在这种情况下裂变是發射性的, 即激发核起初先放出中子。在激发能量降低到中子結合能值之后, 中子宽度就变得很小了。

但是因为放出中子后比值  $Z^2/A$  增加, 裂变位垒就会变得小于中子結合能, 而这样的核的裂变几率就成为压倒优势的了。

\* 在斯伐捷斯基<sup>[33]</sup>和里根費尔特 (R. L. Ligenfelter)<sup>[74]</sup>的論文中引入了关于自發裂变經驗統計的补充数据 (校样时注)。

例如,对于铀在放出 10—12 个中子后,按波尔及惠勒,裂变位垒就与  $Z=92$  的裂变位垒大致相等<sup>[33]</sup>(亦見論文[34])。

在論文[35]—[37]中曾用細节平衡原則对裂变宽度与中子宽度  $\Gamma_n$  的比值作过估計:

$$\frac{W_f}{W_n} \approx \frac{N_1(E_1) N_2(E_2)}{N(E)}, \quad (17)$$

其中  $N_1(E_1)$  及  $N_2(E_2)$ ——激發能量为  $E_1$  及  $E_2$  的激發碎片的能級数;  
 $N(E)$ ——放出中子后激發核的能級数。

这个估計在激發能量足够大时是正确的。确实,在这种情况下,过程的几率与終态的权重成正比(見費米关于介子丛生的文献 [38]),即对于裂变来說是  $N_1(E_1)N_2(E_2)$ , 而对于放射中子来說是  $N(E)$  (指数前的因子并不起重要作用)。

用(17)就可以証明,在一般情况下,中子宽度显著地大于裂变宽度。但是对于中等原子量的核来說,正如在[39]中指出的,看来在大激發能量时比值  $W_f/W_n$  可能是不很小的。这一点是由于能量大时表面張力  $\sigma$  降低,因而  $E_f$  也减少所促成的。

在这种情况下的裂变应该具有明显的不对称性。实验上发现了中等原子量的核在很快的粒子作用下能起裂变作用,这就証明了强激發核的裂变确是可能的<sup>[40][41]</sup>。的确,简单的計算表明,在[40][41]实验中,中等原子量的核的發射裂变是不可能的,因为甚至在所有的激發能量都被放出的中子带走后,  $Z^2/A$  还不会增加到能使裂变位垒低于中子結合能的程度。由此可見,中等原子量的核的裂变只有处在激發能級上才是可能的。

### III. 裂变过程的准靜态及碎片的激發<sup>[37]</sup>

为了要闡明越过位垒之后裂变过程的性質,确定它的准靜态程度是很重要的。

在閾附近裂变的情况下,核由位垒頂峰下降到  $2R$  数量級的距離(即已在“頸”断开之后)所經過的时间为

$$\tau_n \sim 2R / \sqrt{2(E - E_f)} / M \sim 1 - 3 \cdot 10^{-20} \text{秒},$$

其中  $M$ ——核的質量； $E - E_f$ ——激發能量與裂變位壘  $E_f$  之差 ( $E - E_f \sim 0.5 - 1$  兆電子伏)。

因為  $\hbar\omega$  大致等於 1—2 兆電子伏，所以表面八極振蕩的特性時間約為

$$\tau_{\text{八}} \sim \frac{\hbar}{\hbar\omega} \approx 10^{-21} \text{ 秒}.$$

四極振蕩在由位壘上降下的時間內並不發生。對於更高的多極振蕩， $\tau_{\text{多}} \sim \frac{\hbar}{\hbar\omega}$  要比八極的更小。

由此可見，由位壘頂峰降下之後的裂變過程一般是一個在核的振蕩自由度方面的准靜態。對於核的單個核子的自由度來說，也是准靜態。因為  $\tau_{\text{核}} \sim \frac{\hbar}{\Delta E_{\text{核}}} \ll \tau_{\text{八}}$  (在靠近閾裂變時)，這裡  $\Delta E_{\text{核}}$ ——核的核子能級之間的距離。已知，只有在非准靜態過程的情況下，內部自由度的激發幾率才會相當大。因為由位壘頂峰上降下的時候，對於准靜態的偏差很小，所以在裂變過程中由於動能而激發振蕩能級和核子能級的幾率不大 (對於相反的過程，兩個核結合的過程來說也是這樣)。旋轉能級的激發不起作用，因為在閾附近裂變時核沒有足夠的動量矩。

但是，在裂變過程中有一個階段准靜態被顯著地破壞。在 [43]，[37] 中曾證明，在計入庫倫作用時，兩個相接觸核的形狀相當於兩個壓扁的球，也就是說，在 (1) 式中  $P_2(\cos\theta)$  項的係數  $\alpha_2$  是負的 (見圖 3)。此時如果  $Z_1$  和  $Z_2$  的值足夠大，那麼與球形的偏差是相當大的： $|\alpha_2| \sim 0.2 - 0.3$ 。餅 (Лепешкообразная) 的形狀，即在垂直於聯合核中心的直綫的平面中電荷的“流散” (Растекание)，顯然相應於系統能量的最小值。核因為被壓偏，就能夠比在沒有形變時更加靠近，而這導致使核結合的位壘有顯著的升高 (約為 15—20%)。[44] 中所作的，關於在形變時位壘減低的錯誤結論，主要地可用作者們沒有考慮到核之間最小距離減小



圖 3 相接觸核的餅狀

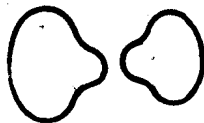


圖 4 裂變之後碎片的形狀

的效应来解释。

根据波尔<sup>[16][17]</sup>，在重核相接近时，由于单个核子的作用也能使核压扁。

因此两个相接触的核的平衡状态的形状是餅状的，然而在“頸”裂开的瞬間碎片有着十分不相同的形式——带有“突起”的（見圖4）。在“頸”裂开之后，碎片很快的采取平衡的形状，把“突起”吸进去（这些見解是属于米格达尔的）。因为过程的这个阶段是在非准静态进行的，所以紧接着頸裂开之后，振荡激發的几率（依靠碎片的庫倫能）可能是相当大的。所获得的能量也就主要地确定了被碎片放出的次級中子和 $\gamma$ 量子的数目和能量。不久以前隔里茨基（Галицкий）注意到，碎片激發的某一部份，可以用在頸裂开之后碎片的庫倫激發来说明。根据威尔逊（Wilson）彼涅德梯（De Benedetti）和弗莱寿（Фрезер）的實驗，我們假定，次級中子基本上是在“頸”裂开之后被激發碎片放出来的<sup>[49]-[47]</sup>。

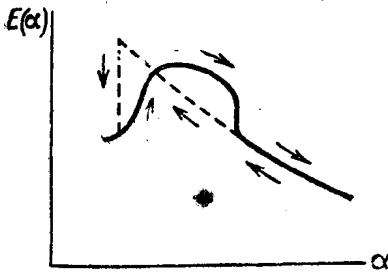


圖5 核及碎片的位能与参数 $\alpha$ 的关系

在两个核結合时（在閾附近），一直到它們相接触为止，过程都是近于准静态的。核相接触之后，看来核表面迅速地縮小，因为表面的縮小使系統能量降低。我們看到，核的裂变过程与相反的核的結合过程是以不同的方法进行。这个区别简单的表示在圖5，其中画着作为参数 $\alpha$ 的函数的核及碎片的位能圖， $\alpha$ 在“頸”裂开之前是描写原始核对称形变的参数，而在“頸”裂开之后它就等于碎片中心之間的距离。

在李奇曼（R. B. Leachman）等人的报告<sup>[48]</sup>中，根据統計核模型进行了对于由碎片放出一定数目中子的几率計算。根据关于碎片动能的實驗数据，再知道了質量亏损，就很容易求得碎片的激發能量。对于每一个激發能量的值都能計算出碎片的温度，并且利用核的統計理論的近似公式（見[49]例），就可以求得蒸發一定数目中子的几率。用这种方法算出的放射中子几率的曲綫相当令人滿意地与實驗数据符合。

有一个尚未得到理論解釋的有意思的實驗事实，就是輕碎片与重碎片所放出的中子数目有差別。根据弗萊寿<sup>[17]</sup>，由輕碎片放出的瞬吋中子平均数等于由重碎片所放出中子数的 1.3 倍。

#### IV. 碎片的質量分布及电荷分布。碎片的角分布

1. 質量分布。裂变理論中最复杂的一个问题是碎片的質量分布。

如曾在第 I 部分指出的，根据简单的液滴模型最低的位垒相应于对称裂变。

很多論文試圖去解釋在實驗上观察到的閾附近非对称裂变现象。这些論文可以分成两部分。第一方面的工作中假設，在裂变时核經過的是平衡状态，也就是有着最合算的动量状态。在第二方面的工作中，例如在[15]中，为了解釋非对称性假設，在裂变时核所經過的状态不是平衡的，因此計入了动力学的效应；注意，此时論文[15]中作了一系列任意的假設。

如在第 III 部分已証明的，在閾附近的裂变与准静态的偏离不大。所以，为了解釋非对称性，看来在第一次近似中可以略去动力学的效应。这个观点的實驗証明是，自發裂变和閾附近的裂变碎片的質量分布曲綫差別不大。在自發裂变时，过程無疑地是准静态。

在第 I 部分中指出的，想用修正液滴模型来获得对非对称裂变的最低位垒的各种試圖，是不成功的。

弗倫凱尔为了解釋非对称性，提出了下面的假設，即在热中子作用下的裂变主要是壘下裂变<sup>[50]</sup>。那么由穿透位垒的几率公式

$$W_f \approx \omega e^{-2/\hbar \int \sqrt{2\mu(U(x) - E)} dx}$$

( $\mu = \frac{M_1 M_2}{M}$  —— 碎片的折合質量) 得到， $W_f$  在非对称裂变时比較大。

符拉基米爾斯基同样地假設，閾附近的裂变是壘下的，并且是發生于低于位垒頂峰 2—2.5 兆电子伏的能級上<sup>[26]</sup>。裂变的非对称性是这樣来解釋的：在位垒頂峰和在它下面的穿出点之間有着失去对于非对称形变稳定性的点。如果把核的能量写成参数  $\alpha_2, \alpha_3, \dots$  的函数，則这一点 ( $\alpha_2 = (\alpha_2)_{臨界}$ ) 由条件



$$\left. \frac{\partial^2 U}{\partial \alpha_3^2} (\alpha_2, \alpha_3, \dots) \right|_{\alpha_3=0} = 0,$$

决定；当  $\alpha_2 > (\alpha_2)_{\text{臨界}}$  时  $\left( \frac{\partial^2 U}{\partial \alpha_3^2} \right) \Big|_{\alpha_3=0} < 0$ ，当  $\alpha_2 < (\alpha_2)_{\text{臨界}}$  时  $\left. \frac{\partial^2 U}{\partial \alpha_3^2} \right|_{\alpha_3=0} > 0$ 。由位垒下面穿出之后核对于非对称形变就成为不稳定的了。可惜，在論文[26]中  $(\alpha_2)_{\text{臨界}}$  点的位置是在形变很小的假設下計算的，这对于在位垒外面的核來說，不論怎样也不能認為是正确的。

然而，更重要的是，实际上在閾附近的裂变决不能認為基本上是垒下的。关于这一点，既有实验数据的証实，又有理論估計的証实（見[14]、[15]）。除了垒上裂变以外，只有低于垒峰有效值不超过 0.1 兆电子伏的垒下裂变能起显著的作用。

非对称裂变的最有意义的解釋是由諾索夫<sup>[14][51]</sup>及稍迟由布新那洛 (U. Businaro) 和伽龙納 (S. Gallone)<sup>[52]</sup>給出的。假設裂变具有垒上的性質，而且对称裂变的位垒較低，諾索夫認為，如果失去与  $\alpha_3$  有关的稳定度的点  $(\alpha_2)_{\text{臨界}}$  处在“頸”断开点之前，那么非对称裂变在穿过位垒頂峰之后就可能發生。为了决定  $(\alpha_2)_{\text{臨界}}$  的位置，在論文[14]中根据液滴模型，研究了一个椭圓体，在椭圓体上叠加着小的对称形变（这些形变給出“頸”）和小的非对称形变。这样，对于球形來說，对称形变不是很小的。这时發現， $(\alpha_2)_{\text{臨界}}$  点确实存在，而且对于鈾核它位于位垒頂峰外不很远的地方。

在[14]、[51]和[52]中沒有計入按波尔所說（見第 I 部份）与单个核子的作用有关的  $U(\alpha)$  与  $\alpha_2, \alpha_3 \dots$  的关系。因此在这些工作中得到的結論不能認為是定量的，但定性的來說，它們是相当确切的。

在馮 (P. Fong) 的文章中提出了对非对称性的唯象解釋<sup>[53]</sup>（也見[54]）\*。

馮为了解釋在閾附近的非对称裂变，利用了細节平衡原理。但是从这个原理出發只能得到粗糙的定性估計（見 II 中 § 3）。在論文[53]中，为了証明，非对称裂变时碎片的激發能量  $E_0$  比对称裂变时大上一个必需的数，他作了一系列或多或少的任意的假設。因为，按照細节平衡原理，过程的几率与碎片的激發状态数  $N_1(E_1) N_2(E_2)$  成正比（見

\* 不久以前發表了馮关于  $U^{238}$  的更詳細的論文[75]（校样时注）——原注。